

بررسی عددی و تجربی تغییر شکل ورق در فرآیند شکل دهنی قفسه‌ای لوله‌هایی با نسبت ضخامت به قطر پائین*

محمد مهدی کسايی^(۱) حسن مسلمی نائینی^(۲) مهدی سلمانی تهرانی^(۳) روح الله عزیزی تفتی^(۴) عmad Rahimi^(۵)

چکیده فرآیند شکل دهنی قفسه‌ای یکی از روش‌های جدید شکل دهنی غلتکی سرد می‌باشد که به طور گسترده برای تولید لوله‌های جوشکاری مقاومتی (ERW) به کار می‌رود. استفاده از فرآیند شکل دهنی قفسه‌ای، علاوه بر تأمین شکل دهنی آرام ورق در طول فرآیند، سبب کاهش هزینه و زمان تولید می‌گردد. به علت پیچیدگی فرآیند، مطالعات کمی در این زمینه انجام شده است و داشش موجود، بیشتر براساس تجربه بنا شده است. در این مقاله به منظور بررسی تغییر شکل ورق در شکل دهنی قفسه‌ای لوله‌هایی با نسبت ضخامت به قطر پائین، فرآیند شکل دهنی قفسه‌ای سرد لوله به صورت سه بعدی در نرم افزار اجزای محدود مارک منتاث شبیه‌سازی می‌شود. با توجه به این که کمانش لبه و ورق از عیوب رایج در فرآیند شکل دهنی غلتکی لوله‌هایی با نسبت ضخامت به قطر پائین می‌باشد، توزیع کرنش‌های طولی در ناحیه‌های لبه و مرکز ورق بررسی و ایستگاه‌های مستعد برای کمانش لبه ورق معرفی می‌شوند. هم‌چنین الگوی گل تغییر شکل و انحنای ورق تغییر شکل یافته با استفاده از نتایج شبیه‌سازی، پیش‌بینی شده و اثر هر یک از مراحل شکل دهنی قفسه‌ای بر روی شکل یا انحنای ورق تغییر شکل یافته مشخص می‌گردد. برای بررسی صحبت شبیه‌سازی‌های انجام گرفته، محیط خارجی، فاصله افقی دولبه ورق و توان شکل دهنی در مراحل مختلف شکل دهنی از نتایج شبیه‌سازی بدست آمد و با داده‌های تجربی اندازه‌گیری شده در خط تولید مقایسه گردید. انتباط خوب این نتایج، صحبت شبیه‌سازی‌ها را تأیید می‌کند.

واژه‌های کلیدی شکل دهنی قفسه‌ای لوله، لوله‌های جوشکاری مقاومتی، کرنش طولی، کمانش لبه، الگوی گل، انحنای نسبی

Numerical and Experimental Investigations on Strip Deformation in Cage Roll Forming Process for Pipes with Small Thickness/Diameter Ratio

M. M. Kasaei H. Moslemi Naeini M. Salmani Tehrani R. Azizi Tafti E. Rahimi

Abstract Cage roll forming is one of the new methods of cold roll forming process which is widely used for producing ERW pipes. In addition to less production cost and time, using cage roll forming provides smooth deformation on the strip. Few studies can be found about cage roll forming because of its complexity, and the available knowledge is more experience-based and not science-based. In this paper, deformation of pipes with small thickness/diameter ratio is investigated by 3D finite element simulation in Marc-Mentat software. Edge buckling defect in roll forming of pipes with small thickness/diameter ratio is very important. Due to direct effect of longitudinal strain on the edge buckling phenomenon, longitudinal strains at the edge and center line of the deformed strip are investigated and the high risk stands are introduced. Deformation flower pattern and curvature of the deformed strip are predicted using the simulation results and the effects of each cage forming stage on the deformed strip profile are specified. In order to verify the simulation results, circumferential length, opening distance of the two edges and forming power in different forming stages are obtained from the simulations and are compared that of the experimental data which were measured from the production line. A good agreement between the experimental and simulated results is observed.

Key Words Cage roll forming, ERW pipes, Longitudinal strain, Edge buckling, Flower pattern, Relative curvature

* نسخهی نخست مقاله در تاریخ ۸۹/۱۲/۲۵، نسخه پذیرش آن در تاریخ ۹۰/۸/۲۲ و نسخه آماده چاپ آن در تاریخ ۹۰/۱۰/۲۰ به دفتر نشریه رسیده است.

(۱) دانشجوی دکتری، گروه ساخت و تولید، بخش مهندسی مکانیک، دانشکده فنی و مهندسی، دانشگاه تربیت مدرس

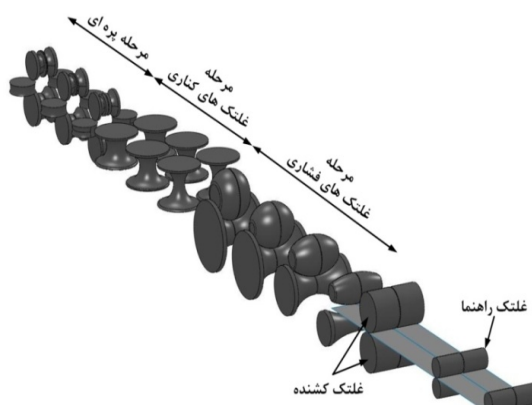
(۲) نویسنده‌ی مسؤول: استاد، گروه ساخت و تولید، بخش مهندسی مکانیک، دانشکده فنی و مهندسی، دانشگاه تربیت مدرس

(۳) استادیار، دانشکده مهندسی مکانیک، دانشگاه صنعتی اصفهان

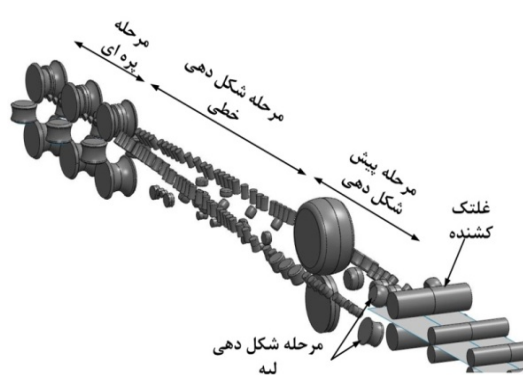
(۴) دانشجوی دکتری، گروه ساخت و تولید، بخش مهندسی مکانیک، دانشکده فنی و مهندسی، دانشگاه تربیت مدرس

(۵) کارشناس ارشد، گروه ساخت و تولید، بخش مهندسی مکانیک، دانشکده فنی و مهندسی، دانشگاه تربیت مدرس

غلتک‌های کوچکی به نام غلتک‌های قفسه‌ای که در تماس با سطح خارجی ناحیه لبه ورق می‌باشد، به مقطع دایره‌ای تبدیل می‌شود. چیدمان غلتک‌ها در فرآیند شکل‌دهی قفسه‌ای به‌گونه‌ای است که ورق تحت یک تغییر‌شکل سراشیبی (Downhill forming) تا قبل از مرحله پرهای قرار می‌گیرد. فرآیند شکل‌دهی قفسه‌ای، همان‌گونه که در شکل (۲) مشاهده می‌شود، از پنج مرحله اصلی تشکیل شده است که عبارتند از مرحله غلتک کشنده (Pinch roll unit)، مرحله شکل‌دهی (Edge bending)، مرحله پیش‌شکل‌دهی (Pre-forming) و مرحله شکل‌دهی خطی (Fin-pass forming). مرحله شکل‌دهی پرهای (forming).



شکل ۱ شکل‌دهی سنتی لوله



شکل ۲ شکل‌دهی قفسه‌ای لوله

مقدمه

در فرآیند شکل‌دهی غلتکی سرد لوله، نوار فلزی با اعمال مقدار شکل‌دهی مشخص در هر ایستگاه به صورت پیوسته و ملایم، شکل مقطع مورد نظر را به خود می‌گیرد. هر ایستگاه با توجه به تغییری که در پروفیل ورق ایجاد می‌کند از تعداد مشخصی غلتک با پروفیل خاص تشکیل شده است. چندین دهه است که فرآیندهای پرکاربرد شکل‌دهی فلزات معرفی کرده است؛ از جمله کاربردهای آن می‌توان به تولید لوله‌های فلزی و پروفیل‌هایی با مقاطع بسته و باز اشاره کرد.

در حال حاضر دو فرآیند شکل‌دهی غلتکی سرد به صورت گسترده برای تولید لوله‌های جوشکاری مقاومتی (Electric Resistance Welded Pipe) مورد استفاده قرار می‌گیرد که عبارتند از شکل‌دهی سنتی (Conventional roll-forming) و شکل‌دهی قفسه‌ای (Cage roll-forming). در شکل‌دهی سنتی (شکل ۱)، ورق فلزی به‌وسیله پروفیل غلتک‌های افقی و عمودی که در ایستگاه‌های مختلف نصب شده‌اند، به تدریج شکل لوله را به خود می‌گیرد. از آنجایی که تغییر‌شکل به‌وسیله پروفیل غلتک‌های افقی و عمودی انجام می‌گیرد، با تغییر قطر لوله، نیاز است که کلیه غلتک‌های خط تولید تعویض شوند. این امر مستلزم صرف هزینه بالا برای ساخت غلتک‌های مختلف و وقت زیاد برای تعویض غلتک‌ها می‌باشد. به علت ماهیت تغییر‌شکل در فرآیند شکل‌دهی سنتی لوله، ورق تغییر‌شکل یافته در این فرآیند بسیار مستعد بروز عیوبی مانند کمانش و چین خوردگی در ناحیه لبه و هم‌چنین برگشت‌فرزی می‌باشد [۱,۲]. بنابراین، با توجه به مشکلات ذکر شده، شیوه‌ای جدید از شکل‌دهی غلتکی سرد با نام شکل‌دهی قفسه‌ای برای تولید لوله‌های جوشکاری مقاومتی توسعه پیدا کرد.

در شکل‌دهی قفسه‌ای لوله‌های جوشکاری مقاومتی، ورق فلزی به صورت پیوسته، به‌وسیله

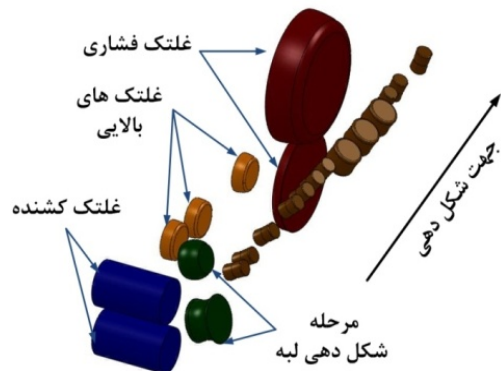
[13] فرآیند شکل دهی غلتکی سنتی را به کمک نرم افزار SHAPE-RF شبیه سازی و شکل لبه ورق اولیه را بر اساس رگرسیون درجه دو پیش بینی نمودند. سلمانی تهرانی و همکارانش [14] به بررسی کمانش لبه ورق در ایستگاه های ابتدایی شکل دهی سنتی با استفاده از نرم افزار اجزای محدود Abaqus پرداختند و حدی را برای زاویه پروفیل، به منظور جلوگیری از کمانش لبه معروفی کردند. از جمله پژوهش های انجام گرفته در شکل دهی قفسه ای سرد لوله نیز می توان به کار تجربی یوکریاما و همکارانش [1] اشاره کرد. در این پژوهش، برای به دست آوردن دانشی جامع در فرآیند شکل دهی قفسه ای، رفتار تغییر شکل ورق براساس تاریخچه کرنش، موقعیت لبه و مرکز ورق و الگوی گل تغییر شکل مطالعه شد. اگرچه پژوهشگران زیادی با استفاده از روش های مختلف شبیه سازی به بررسی تغییر شکل ورق در فرآیند شکل دهی غلتکی سرتاسر لوله پرداخته اند اما بیشتر این تحقیقات بر روی شکل دهی سنتی تمرکز دارد و تنها تعداد محدودی پژوهش در زمینه شکل دهی قفسه ای آن هم به صورت تجربی گزارش شده است. شبیه سازی اجزای محدود فرآیند شکل دهی قفسه ای به علت طول زیاد ناحیه تغییر شکل، تعداد زیاد غلتک های شکل دهی (بیش از ۱۰۰ غلتک) و تماس پیچیده بین ورق و غلتک ها به عنوان یکی از پیچیده ترین شبیه سازی اجزای محدود فرآیندهای شکل دهی شناخته می شود. جیانگ و همکارانش [2] در سال ۲۰۰۹ برای اولین بار فرآیند شکل دهی قفسه ای را برای تولید لوله های با قطر خارجی ۳۲۵ میلی متر و ضخامت $10/3$ میلی متر ($T/D=3.1\%$) در نرم افزار اجزای محدود LS-DYNA به صورت سه بعدی شبیه سازی کردند و تغییر شکل ورق را در این فرآیند مورد بررسی قرار دادند.

از آنجا که با کاهش نسبت ضخامت به قطر، احتمال ایجاد عیوب شکل دهی به ویژه کمانش لبه و برگشت فنری ورق به شدت افزایش می یابد، یکی از

پژوهشگران زیادی در زمینه شکل دهی سنتی لوله های جوشکاری مقاومتی به تحقیق پرداخته اند. کیوچی [3] برای نخستین بار از یک روش تحلیلی که در آن از یک تابع شکل سینوسی استفاده شده بود، برای شبیه سازی شکل دهی سنتی استفاده کرد. در ادامه، کیوچی و کوداباشی [4] برای بهینه سازی الگوی گل لوله گرد، دو روش یکنواخت کردن بیشینه کرنش طولی بین ایستگاه ها و یکسان کردن توان لازم برای تغییر شکل بین ایستگاه ها را پیشنهاد کردند. کیوچی و همکارانش [5] به وسیله انجام یک سری آزمایش های تجربی، برنامه ایستگاهی مناسبی را برای ایجاد تغییر شکل بهینه در مرحله پرهای ارایه دادند. واکر و پیک [6,7] روش مدل سازی جدیدی برای ورق تغییر شکل یافته معرفی کردند. در این روش از بسیار اسپیلانین برای تعریف هندسه ورق تغییر شکل یافته استفاده شد. افزون بر این آنها توانستند کرنش ها را نیز محاسبه کنند. مسلمی نائینی [8] با ادامه و گسترش روش کیوچی برنامه ای برای طراحی غلتک های شکل دهی سرد لوله تدوین کرد. لیو و همکارانش [9] و هان و همکارانش [10] روش نوار محدود را برای تحلیل فرآیند شکل دهی غلتکی سرد لوله های جوشکاری مقاومتی براساس روش لاگرانژین گسترش دادند.

در سال های اخیر روش اجزای محدود نیز برای تحلیل فرآیند شکل دهی غلتکی سرد مورد استفاده قرار گرفته است. کیوچی و وانگ [11] کد دو بعدی و سه بعدی المان محدودی با فرض الاستیک-پلاستیک براساس روش ضمنی استاتیکی و صریح دینامیکی تهیه کردند و مطالعه جامعی بر روی فرآیند شکل دهی غلتکی انعطاف پذیر لوله های جوشکاری مقاومتی انجام دادند. هانگ و همکارانش [12] برنامه ای سه بعدی با نام SHAPE-RF براساس روش اجزای محدود تهیه کردند که برای تحلیل فرآیند شکل دهی غلتکی سرد مقاطع کانالی و دایره ای کاربرد دارد. کیم و همکارانش

مرحله پرهای می باشد. مرحله غلتک کشند، نیروی پیشروی ورق را تأمین می کند و از دو غلتک تخت بالایی و پایینی تشکیل شده است. این غلتک ها هیچ تغییری در پروفیل ورق ایجاد نمی کنند. مرحله شکل دهنده لبه که دارای دو غلتک بالایی و پایینی در هر طرف می باشد، بالافاصله بعد از غلتک های کشنده قرار می گیرد و وظیفه تغییر شکل ناحیه لبه ورق را برعهده دارد. مرحله پیش شکل دهنده، مطابق شکل (۳) از سیزده غلتک قفسه ای در دو طرف ورق، سه غلتک بالایی و یک غلتک فشاری، که در تماس با ناحیه مرکزی ورق می باشند، تشکیل شده است.



شکل ۳ مرحله غلتک کشند، شکل دهنده لبه و پیش شکل دهنده

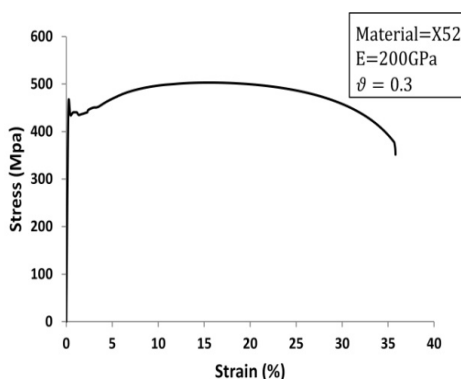
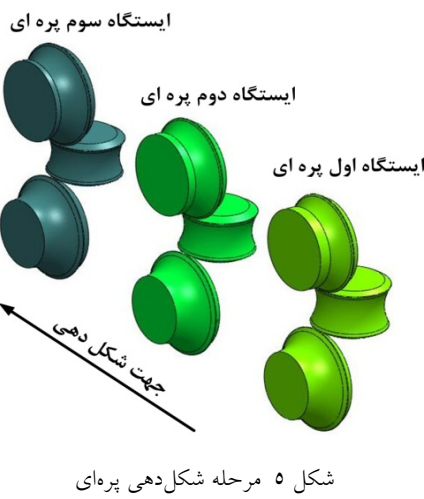
بخش شکل دهنده خطی، خود به سه قسمت تقسیم شده است. مطابق شکل (۴) مراحل اول و دوم شکل دهنده خطی، هر کدام دارای یک مجموعه نه تایی از غلتک های قفسه ای در هر طرف ورق می باشد و مرحله سوم شکل دهنده خطی که تا قبل از مرحله پرهای ادامه می یابد، یازده غلتک قفسه ای دارد. برای شکل دهنده لوله هایی با قطر $609/6$ میلی متر به علت محدودیت در ساخت غلتک و هم چنین بالا بردن قابلیت شکل دهنده، از چهار مجموعه غلتک خوش ای استفاده می شود. هر کدام از مجموعه غلتک های خوش ای دارای سه تا پنج غلتک هستند که در تماس با سطح داخلی ناحیه مرکزی، فلنج و لبه ورق قرار دارند. هم چنین هشت غلتک پایینی که در تماس با سطح خارجی ناحیه مرکزی ورق قرار می گیرند، بخشی

مشکلات رایج در کارخانه های لوله سازی، تولید لوله های جوشکاری مقاومتی با نسبت ضخامت به قطر پایین می باشد. در این پژوهش، برای بررسی تغییر شکل ورق در فرآیند شکل دهنده قفسه ای لوله هایی با نسبت ضخامت به قطر پایین، خط تولید کارخانه نورد و لوله صفا برای شکل دهنده لوله ای با قطر خارجی $609/6$ میلی متر و ضخامت $7/95$ میلی متر ($T/D=1.3\%$)، به صورت الاستیک-پلاستیک در نرم افزار اجزای محدود مارک منتات (Marc Mentat) شبیه سازی شد. با استفاده از نتایج شبیه سازی، انحنای ورق تغییر شکل یافته پیش بینی شد و اثر هر یک از مراحل شکل دهنده قفسه ای بر روی پروفیل ورق تغییر شکل یافته مشخص گردید. با توجه به تأثیر مستقیم کرنش های طولی بر روی پدیده کمانش لبه، کرنش طولی در ناحیه های لبه و مرکز ورق مورد بررسی قرار گرفت و ایستگاه های مستعد برای ایجاد کمانش لبه ورق معرفی شدند. هم چنین با استفاده از نتایج شبیه سازی، هندسه ورق تغییر شکل یافته در مراحل مختلف شکل دهنده و توان شکل دهنده در مرحله پرهای پیش بینی شد که انطباق خوبی با نتایج اندازه گیری های تجربی نشان داد.

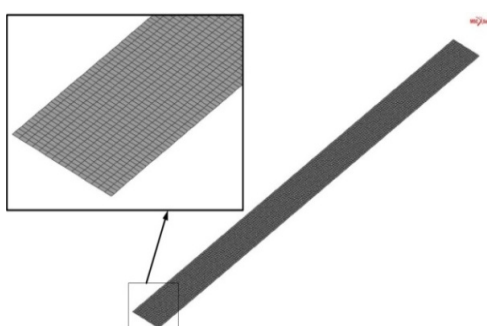
مدل سازی اجزای محدود فرآیند شکل دهنده قفسه ای

در این مقاله مدل اجزای محدودی از فرآیند شکل دهنده قفسه ای سرد لوله در نرم افزار مارک منتات، برای بررسی تغییر شکل ورق در این فرآیند ایجاد شد. به علت ویژگی تقارن شکل دهنده قفسه ای، تنها نیمی از عرض ورق و غلتک ها مدل و شبیه سازی شدند.

مدل خط تولید. مدل فرآیند شکل دهنده قفسه ای که مطابق با خط لوله کارخانه نورد و لوله صفا ایجاد شده است، دارای هر پنج بخش اصلی شکل دهنده قفسه ای یعنی: مرحله غلتک کشند، مرحله شکل دهنده لبه، مرحله پیش شکل دهنده، مرحله شکل دهنده خطی و



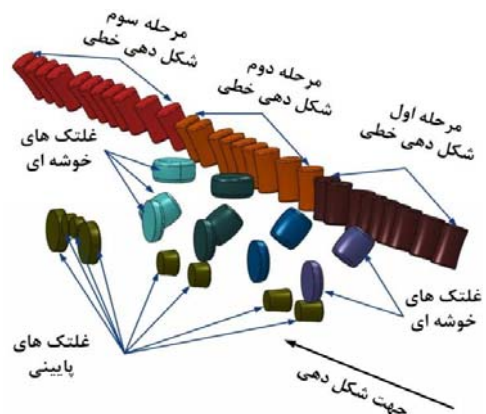
شکل ۶ منحنی تنش-کرنش برای ورقی از جنس X52



شکل ۷ نمایی از ورق شبکه‌بندی شده

از آنجایی که تغییرشکل غلتک‌ها در مقایسه با ورق بسیار ناچیز می‌باشد، غلتک‌ها صلب در نظر گرفته شدند. ورق در اثر نیروی اصطکاک به داخل فضای غلتک‌ها کشیده می‌شود و در جهت شکل دهی حرکت

از وظیفه شکل دهی ورق در مرحله شکل دهی خطی را بر عهده دارد.



شکل ۴ مرحله شکل دهی خطی

مرحله پرهای آخرین مرحله شکل دهی تا قبل از مرحله جوش است و هر یک از ایستگاه‌های پرهای دارای یک غلتک بالایی، یک غلتک پایینی و دو غلتک کناری می‌باشند که در شکل (۵) نشان داده شده است.

خواص مواد ورق. برای معرفی خواص مواد هر جنس، مدول الاستیک و ضریب پواسون آن از نتایج آزمایش کشش به دست آمد و در نرم‌افزار مارک متات وارد شد که برای ورقی از جنس X52 به ترتیب ۲۰۰ گیگا پاسکال و 0.03 است. برای تعیین تنش تسلیم ورق تحت شرایط بارگذاری معکوس، قانون کارسختی ایزوتروپیک مورد استفاده قرار گرفته و همچنین نمودار تنش حقیقی - کرنش پلاستیک حقیقی برای نرم‌افزار تعریف شد. منحنی تنش-کرنش مهندسی برای ورق X52 مطابق شکل (۶) می‌باشد.

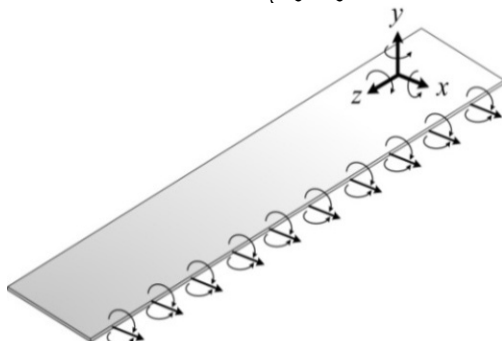
مدل اجزای محدود. در مدل اجزای محدود، مطابق شکل (۷) ورق به ۵۷۰۰ المان پوسته‌ای چهار گره‌ای تقسیم شد. طول، عرض و ضخامت ورق اولیه به ترتیب ۱۹۱۴، ۲۴۰۰ و $7/95$ میلی متر می‌باشند.

نتایج و بحث

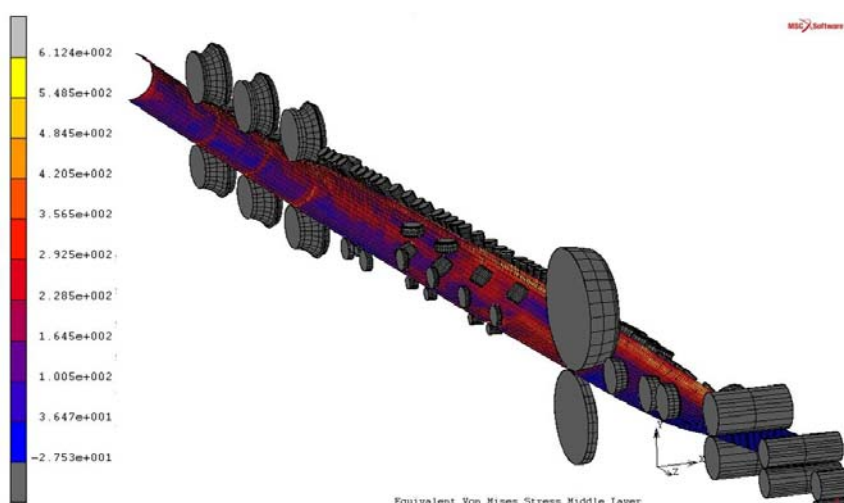
شکل (۹) نمایی از شبیه‌سازی سه بعدی فرآیند شکل دهی قفسه‌ای سرد لوله را در نرم‌افزار مارک ممتاز نشان می‌دهد که در ادامه با استفاده از نتایج به دست آمده از شبیه‌سازی، تغییر شکل ورق بررسی می‌شود.

کرنش طولی. شکل (۱۰) کرنش طولی در ناحیه لبه ورق در مراحل مختلف شکل دهی قفسه‌ای را نشان می‌دهد. در ابتدای تغییر شکل، کرنش طولی لبه ورق در مرحله شکل دهی لبه به شدت افزایش پیدا می‌کند؛ زیرا در این مرحله تنها ناحیه لبه ورق شکل گرفته است و انحنای آن، تقریباً برابر با انحنای لوله نهایی می‌شود. از این رو خطوط جریان ناحیه لبه ورق در مقایسه با مرکز ورق به شدت افزایش طول می‌یابد. مرکز شکل دهی در ناحیه لبه، سبب کارسختی این ناحیه و افزایش تنش تسلیم ورق می‌گردد. در نتیجه در مراحل بعدی تغییر شکل، لبه ورق به راحتی دچار تغییر شکل پلاستیک نمی‌شود. نتایج شبیه‌سازی نشان می‌دهد در ناحیه‌ای که ورق در تماس با غلتک‌های قفسه‌ای است کرنش در لبه بسیار ناچیز است و در محدوده الاستیک باقی می‌ماند. در واقع غلتک‌های قفسه‌ای سبب تغییر شکل آرام و هم‌چنین جلوگیری از افزایش ناگهانی طول خطوط جریان ناحیه لبه ورق می‌شوند.

می‌کند. در نتیجه شرایط اصطکاکی بین غلتک و ورق با استفاده از قانون کلمب مدل و مقدار ضریب اصطکاک ۱/۰ در نظر گرفته شد. در این مدل سرعت دورانی غلتک‌های محرك به گونه‌ای در نظر گرفته شد که سرعت خطی ورق برابر با 15m/min شود. به گره‌هایی که در مرکز ورق قرار دارند شرط مرزی به گونه‌ای اعمال گردید که خاصیت تقارنی فرآیند نسبت به صفحه Y-Z لحاظ گردد. بنابراین جایه جایی در جهت X و دوران حول محورهای Y و Z برای این گره‌ها صفر فرض شد (شکل ۸). تمام درجات آزادی غلتک‌ها نیز به جز دوران، حول محور X گرفته شد. با توجه به ماهیت شبیه‌استاتیک فرآیند، شبیه‌سازی به صورت استاتیکی انجام گرفت. هم‌چنین برای انجام این شبیه‌سازی از حلگر صریح استفاده شد.



شکل ۸ شرایط مرزی ورق برای اعمال شرایط تقارنی



شکل ۹ شبیه‌سازی شکل دهی قفسه‌ای (کانتور تنش فون میزز)

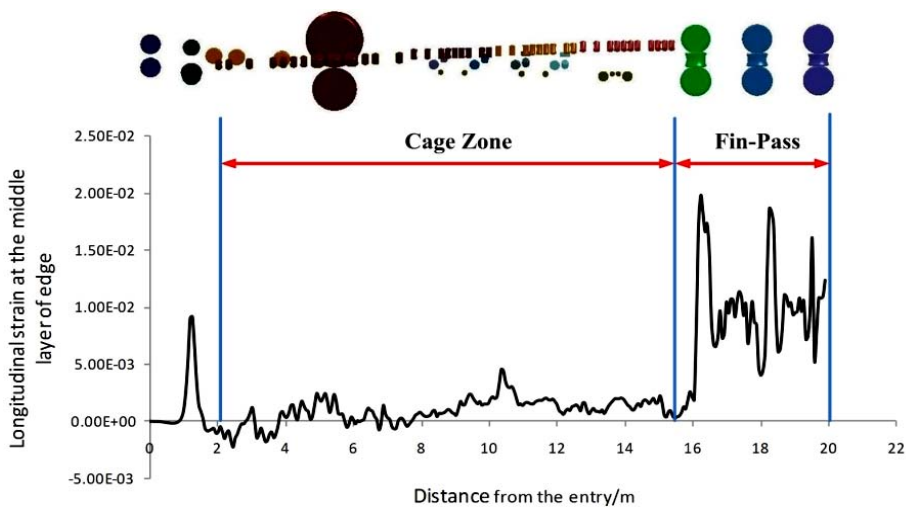
شکل دهی غلتکی سرد لوله می‌باشد. در این فرآیند هنگامی که در یک ایستگاه شکل دهی طول خطوط جریان ناحیه لبه ورق در مقایسه با نواحی دیگر به صورت محلی افزایش می‌یابد پتانسیل ایجاد کمانش لبه ورق فراهم می‌شود. زیرا پس از خروج از ایستگاه شکل دهی به علت اختلاف طول خطوط جریان در ناحیه لبه و مرکز ورق و همچنین اثر ایستگاه بعدی تغییرشکل، ناحیه لبه ورق تحت فشار قرار می‌گیرد و با افزایش نیروی فشاری از مقدار حدی مشخصی، کمانش لبه ورق روی می‌دهد.

مقایسه کرنش‌های طولی در ایستگاه شکل دهی لبه نشان می‌دهد که تفاوت کرنش طولی در ناحیه لبه و مرکز ورق زیاد می‌باشد. بنابراین می‌توان پیش‌بینی کرد که با افزایش زاویه پروفیل غلتک در این ایستگاه از حد مشخصی، کمانش لبه ورق روی خواهد داد. در محدوده‌ای که ورق در تماس با غلتک‌های قفسه‌ای است، به علت استفاده از شکل دهی سراشیبی و همچنین غلتک‌های قفسه‌ای، کرنش‌های طولی در لبه و مرکز ورق به هم نزدیک بوده و در محدوده الاستیک باقی می‌مانند. اما با ورود ورق به مرحله پرهای، به دلیل تمرکز کاهش عرضی در ناحیه لبه، تفاوت کرنش‌های طولی در لبه و مرکز ورق به شدت افزایش می‌یابد. بنابراین با توجه به اختلاف زیاد کرنش طولی لبه و مرکز ورق در ایستگاه‌های شکل دهی لبه و پرهای، می‌توان این مراحل را به عنوان مکان‌های مستعد برای کمانش لبه ورق معرفی کرد. شکل (۱۳) کانتور کرنش طولی را در مرحله پرهای نشان می‌دهد. همان‌طور که مشخص است در اثر اعمال بیش از اندازه کاهش عرضی و در نتیجه اختلاف زیاد کرنش طولی در ناحیه لبه و مرکز ورق در ایستگاه دوم پرهای، کمانش لبه روی داده است.

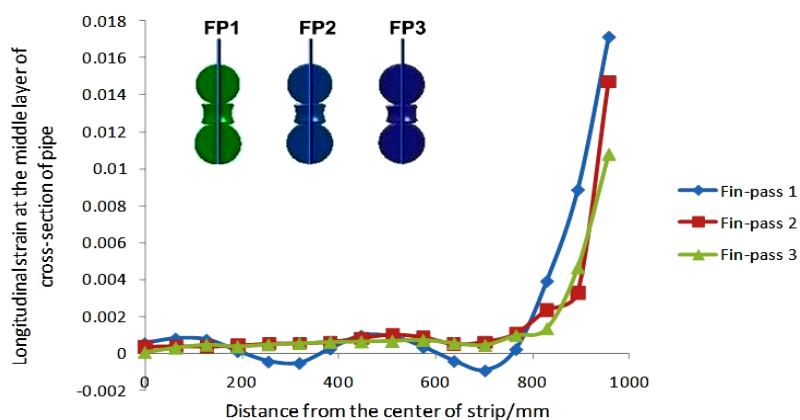
با ورود ورق به هر یک از ایستگاه‌های پرهای، کرنش طولی در لبه با افزایش شدیدی همراه و به صورت قله‌هایی در نمودار کرنش طولی ظاهر می‌شود. کرنش طولی پس از خارج شدن ورق از هر ایستگاه دوباره کاهش می‌یابد اما با این وجود کرنش‌های طولی در لبه ورق به صورت پلاستیک باقی می‌ماند. این پدیده را می‌توان به این صورت توجیه کرد که با ورود ورق به هر یک از ایستگاه‌های پرهای، به علت کاهش در عرض ورق، ماده ناچار به سیلان زیاد در راستای طولی می‌شود. در نتیجه کرنش در راستای طولی به شدت افزایش پیدا می‌کند. بیشترین کرنش طولی در ناحیه لبه در ایستگاه اول روی می‌دهد و برابر با ۰/۰۱۹۷ می‌باشد که ناشی از کاهش عرضی بیشینه‌ای است که در این ایستگاه، به ورق اعمال می‌گردد. آن‌جایی که ایستگاه سوم پرهای، وظیفه یکنواخت کردن انحنا و موقعیت دهی لبه ورق برای مرحله جوش را بر عهده دارد، کاهش عرضی در این مرحله بسیار کمتر از دو مرحله دیگر پرهای می‌باشد؛ بنابراین کرنش طولی ناحیه لبه در ایستگاه سوم پرهای کمتر از دو ایستگاه دیگر پرهای است.

شکل (۱۱) توزیع کرنش طولی در مقطع عرضی ورق تغییرشکل یافته را در سه ایستگاه مرحله پرهای نشان می‌دهد. به علت توزیع غیریکنواخت کاهش عرضی در هر یک از ایستگاه‌های پرهای و تمرکز آن در ناحیه لبه ورق، کرنش طولی در راستای عرضی با نزدیک شدن به ناحیه لبه زیاد می‌شود.

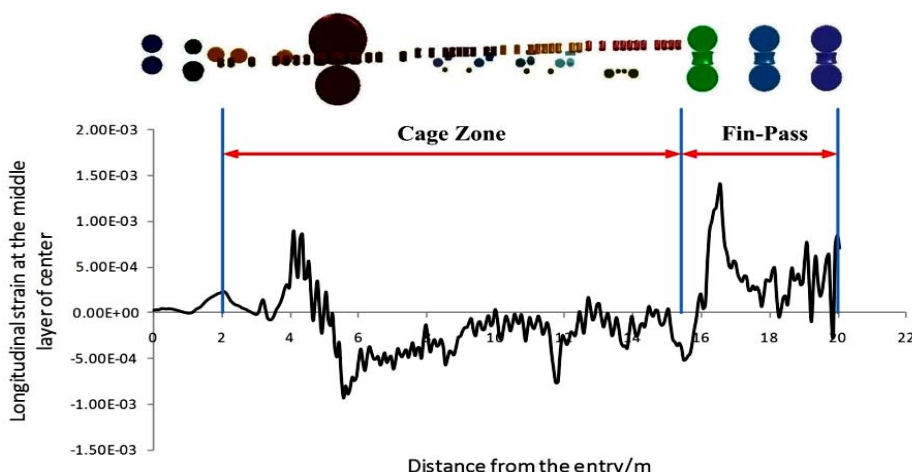
مطابق شکل (۱۲) کرنش طولی در ناحیه مرکزی ورق از محدوده الاستیک، خارج نمی‌شود و به علت طبیعت فرآیند بعد از غلتک فشاری، کرنش‌ها از حالت کششی به فشاری تغییر یافته و دوباره با ورود ورق به مرحله پرهای، به حالت کششی بر می‌گردد. کمانش لبه ورق یکی از عیوب رایج در فرآیند



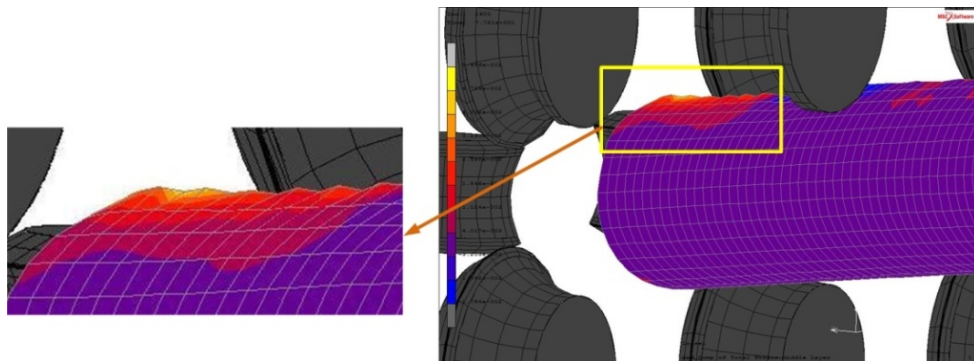
شکل ۱۰ کرنش طولی در لبه ورق تغییر شکل یافته در فرآیند شکل دهنده قفسه ای



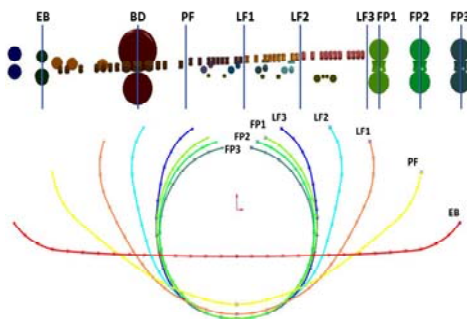
شکل ۱۱ توزیع کرنش طولی در مقطع عرضی ورق تغییر شکل یافته در مرحله پرهای



شکل ۱۲ کرنش طولی در مرکز ورق تغییر شکل یافته در فرآیند شکل دهنده قفسه ای

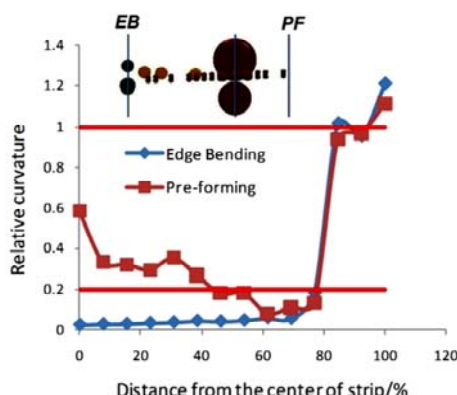


شکل ۱۳ پدیده کمانش لبه در مرحله پرهاي



شکل ۱۴ الگوي گل شكل دهی قفسه ای لوله

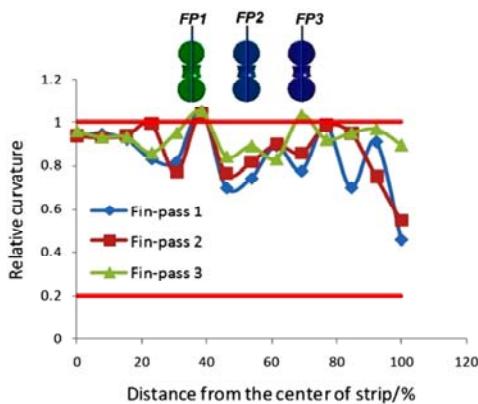
شکل (۱۵) توزیع انحنای را پس از مراحل شکل دهی لبه و پیش شکل دهی نشان می دهد. مطابق انتظار در مرحله شکل دهی لبه، تنها ناحیه نزدیک به لبه ورق شکل گرفته است و انحنای آن تا قبل از مرحله پرهاي ثابت باقی می ماند و بقیه ناحیه ها در زمرة نواحي خم نشده قرار می گیرند.



شکل ۱۵ توزیع انحنای نسبی در مقطع عرضی ورق تغییر شکل یافته در مراحل شکل دهی لبه و پیش شکل دهی

الگوی گل تغییر شکل. الگوی گل تغییر شکل از روی هم قرار دادن مقطع عرضی ورق تغییر شکل یافته در مراحل مختلف شکل دهی به دست می آید و نشانگر توزیع میزان شکل دهی در طول خط تولید است. شکل (۱۴) الگوی گل تغییر شکل در مراحل مختلف شکل دهی قفسه ای را نشان می دهد. مشاهده می شود که با توجه به نحوه تماس غلتک ها با ورق در مراحل مختلف، در هر مرحله بخش های به خصوصی از عرض ورق شکل می گیرد. تا قبل از مرحله پرهاي، ناحیه هایی از ورق وجود دارند که به علت عدم اعمال شکل دهی، انحنای ناچیزی دارند. زیرا در شکل دهی قفسه ای برخلاف شکل دهی سنتی لوله تغییر شکل به وسیله پروفیل غلتک ها صورت نمی گیرد و ورق در اثر تماس محدود با غلتک ها تغییر شکل می یابد. به منظور بررسی تغییرات انحنای در راستای عرضی در مراحل مختلف شکل دهی، فاکتور بی بعد انحنای نسبی به صورت نسبت انحنای ورق تغییر شکل یافته به انحنای لوله نهایی تعریف شد. هر چه انحنای نسبی در عرض ورق به یک نزدیکتر و توزیع آن یکنواخت تر باشد پروفیل محصول به لوله نهایی نزدیکتر خواهد بود. نزدیک بودن انحنای نسبی به صفر، نشان دهنده تغییر شکل اعمالی ناچیز است. با توجه به این امر، مناطقی که انحنای نسبی در آن ها از 20° کمتر باشد به عنوان مناطق خم نشده (Non-bending area) در نظر گرفته شدند.

پرهای انحراف از معیار که نشان دهنده پراکندگی توزیع انحنا در مقطع عرضی ورق تغییر شکل یافته می باشد، به سمت صفر میل می کند.



شکل ۱۷ توزیع انحنا نسبی در مقطع عرضی ورق تغییر شکل یافته در مرحله پرهای

جدول ۱ میانگین و انحراف از معیار انحنای نسبی در مرحله پرهای

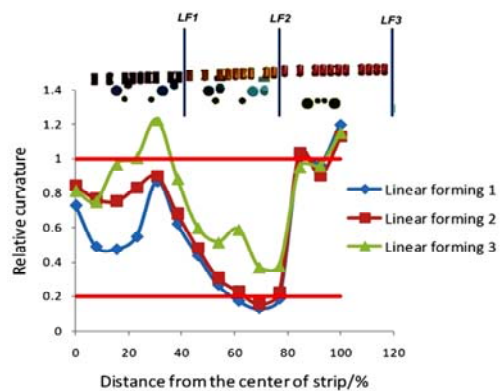
| انحراف از معیار | میانگین انحنای نسبی | نام ایستگاه |
|-----------------|---------------------|-------------------|
| ۰/۰۲۳ | ۰/۸۳۴ | ایستگاه اول پرهای |
| ۰/۰۱۷ | ۰/۸۷ | ایستگاه دوم پرهای |
| ۰/۰۰۴ | ۰/۹۲۹ | ایستگاه سوم پرهای |

مقایسه نتایج شبیه سازی با نتایج تجربی

برای مقایسه نتایج شبیه سازی با نتایج تجربی، هندسه ورق تغییر شکل یافته و توان مصرفی در خط شکل دهی قفسه ای کارخانه نورد و لوله صفا مورد اندازه گیری قرار گرفت تا از این طریق بتوان از صحت مدل و همچنین شبیه سازی های انجام شده اطمینان حاصل کرد.

هندسه ورق تغییر شکل یافته برای بررسی هندسه ورق تغییر شکل یافته، محیط خارجی ورق و همچنین فاصله افقی دو لبه ورق در موقعیت های مختلف خط

در مرحله پیش شکل دهی به علت اثر غلتک های بالابی و فشاری به تدریج انحنای ناحیه مرکزی نیز افزایش می یابد. همچنین در این مرحله در گستره فاصله ای ۰/۷۶-۰/۴۳٪ از مرکز ورق نواحی خم نشده مشاهده می شوند. با ورود ورق به مرحله شکل دهی خطی (شکل ۱۶) نواحی خم نشده به تدریج کاهش می یابند به گونه ای که این نواحی در انتهای سومین مرحله شکل دهی خطی به طور کامل ناپدید می شوند. اما همچنان توزیع غیر یکنواختی در انحنای ورق تغییر شکل یافته وجود دارد. نواحی خم نشده در انتهای مرحله اول و دوم شکل دهی خطی در گستره فاصله ای ۰/۷۵-۰/۶۰٪ و ۰/۷۶-۰/۶۰٪ از مرکز مشاهده می شوند.



شکل ۱۶ توزیع انحنای نسبی در مقطع عرضی ورق تغییر شکل یافته در مرحله شکل دهی خطی

شکل (۱۷) توزیع انحنای نسبی ورق تغییر شکل یافته در مرحله پرهای را نشان می دهد. در این مرحله توزیع انحنا بسیار یکنواخت تر شده و پس از ایستگاه سوم پرهای، بسیار به یک، لوله گرد، نزدیک می شود. مقادیر جدول (۱) مربوط به میانگین انحنای نسبی و انحراف از معیار آن در ایستگاه های پرهای است. میانگین انحنای نسبی در مرحله پرهای به تدریج افزایش می یابد به نحوی که در ایستگاه سوم پرهای میانگین انحنای نسبی به ۰/۹۲۹ می رسد. افزایش میانگین انحنای نسبی تا انحنای لوله نهایی در مراحل جوش و به اندازه رساندن لوله کامل می شود. همچنین در مرحله

مقایسه با لوله‌هایی با نسبت ضخامت به قطر بالا مقدار کمی می‌باشد. زیرا در شکل‌دهی لوله‌هایی با نسبت ضخامت به قطر پایین احتمال کمانش لبه در مرحله پرهای زیاد می‌باشد؛ به این خاطر از اعمال کاهش محیط خارجی زیاد در این مرحله خودداری می‌شود. مطابق جدول (۳) فاصله افقی لبه ورق تا مرحله پرهای با توجه به نحوه چیدمان غلتک‌های قفسه‌ای به صورت خطی کاهش می‌یابد. هم‌چنین به علت این که در مرحله غلتک کشند، ورق کاملاً تخت می‌باشد و تغییرشکلی بر آن اعمال نمی‌شود، درصد خطای نتایج شبیه‌سازی صفر می‌باشد.

تولید، مورد اندازه‌گیری قرار گرفت که چگونگی اندازه‌گیری این پارامترها در شکل (۱۹ و ۱۸) نشان داده شده است.



شکل ۱۸ نحوه اندازه‌گیری محیط خارجی ورق تغییرشکل یافته

جدول ۲ مقایسه محیط خارجی ورق به دست آمده از نتایج شبیه‌سازی و تجربی

| (D=۶۰۹/۶ mm, t=۷/۹۵mm=X۵۲)=allas | | | |
|----------------------------------|----------------|-----------|--------------------|
| درصد خطای (%) | محیط خارجی ورق | | موقعیت اندازه‌گیری |
| | تجربی | شبیه‌سازی | |
| ۰ | ۱۹۱۴ | ۱۹۱۴ | مرحله کشند |
| ۰/۱۴ | ۱۹۲۳/۶ | ۱۹۲۰/۹ | شکل‌دهی لبه |
| ۰/۰۴ | ۱۹۲۶ | ۱۹۲۵/۳ | پیش شکل‌دهی |
| ۰/۰۵ | ۱۹۲۸/۴ | ۱۹۲۹/۵ | اول |
| ۰/۱۲ | ۱۹۳۳/۲ | ۱۹۳۰/۸ | دوم |
| ۰/۰۳ | ۱۹۳۵/۶ | ۱۹۳۴/۹ | سوم |
| ۰/۱۰ | ۱۹۳۲ | ۱۹۳۱ | مرحله پرهای |

جدول ۳ مقایسه بین فاصله افقی دو لبه ورق به دست آمده از نتایج شبیه‌سازی و تجربی

| (D=۶۰۹/۶ mm, t=۷/۹۵mm=X۵۲)=allas | | | |
|----------------------------------|-------------------|-----------|--------------------|
| درصد خطای (%) | فاصله افقی دو لبه | | موقعیت اندازه‌گیری |
| | تجربی | شبیه‌سازی | |
| ۱/۸ | ۱۸۸۵ | ۱۸۵۱ | شکل‌دهی لبه |
| ۳/۱۷ | ۱۵۷۸ | ۱۵۲۸ | پیش شکل‌دهی |
| ۳/۸۳ | ۱۰۷۱ | ۱۱۱۲ | اول |
| ۶/۰۴ | ۷۴۵ | ۷۹۰ | دوم |
| ۴/۱۳ | ۳۶۳ | ۳۷۸ | سوم |



شکل ۱۹ نحوه اندازه‌گیری فاصله افقی دو لبه ورق

جدول (۳ و ۲) به ترتیب مقایسه محیط خارجی و فاصله افقی دو لبه ورق را در شبیه‌سازی اجزای محدود و خط تولید نشان می‌دهد. با توجه به کوچک بودن بیشینه خطای در دو جدول (۳ و ۲) می‌توان به صحت نتایج شبیه‌سازی اطمینان کرد.

مطابق جدول (۲) بیشترین افزایش محیط خارجی ورق در مرحله شکل‌دهی لبه گزارش شده است که همان‌طور که اشاره شد این تغییرشکل شدید سبب افزایش قابل توجهی در کرنش طولی و هم‌چنین کارسختی در ناحیه لبه ورق می‌شود. محیط خارجی ورق در ناحیه قفسه‌ای افزایش ملایمی را نشان می‌دهد. میزان کاهش محیط خارجی به دست آمده از نتایج شبیه‌سازی و داده‌های تجربی در مرحله پرهای به صورت تقریبی برابر با ۳ میلی‌متر می‌باشد که در

کاتالوگ های موتورهای مورد استفاده، ولتاژ ۴۲۰ ولت و بازده (۶۰/۹) در نظر گرفته شد.

جدول (۴) مقایسه بین توان های شکل دهی در شبیه سازی اجزای محدود و آنچه که در خط تولید اندازه گیری شده است را نشان می دهد. درصد خطای کم نتایج شبیه سازی با داده های تجربی به خوبی صحت شبیه سازی ها را تأیید می کند. بیشترین توان شکل دهی مربوط به غلتک پایینی استگاه اول پرهای است؛ زیرا خط پایین لوله که تا انتهای مرحله شکل دهی خطی روندی نزولی را طی کرده است تا قبل از مرحله پرهای مقداری به سمت بالا حرکت می کند که این باعث اعمال نیروی شدید و افزایش گشتاور در غلتک پایینی استگاه اول پرهای می گردد.

نتیجه گیری

در این مقاله فرآیند شکل دهی قفسه ای لوله هایی با نسبت ضخامت به قطر پایین، ۱/۳٪، به صورت سه بعدی در نرم افزار اجزای محدود مارک متناسب شبیه سازی شد. به منظور بررسی عیب کمانش لبه، کرنش طولی در لبه و مرکز ورق مورد بررسی قرار گرفت. نتایج نشان داد که تفاوت کرنش طولی در لبه و مرکز ورق در استگاه شکل دهی لبه زیاد می باشد و ناحیه لبه ورق دچار تغییر شکل پلاستیک می شود. در حالی که در مرحله پیش شکل دهی و شکل دهی خطی کرنش طولی در لبه و مرکز ورق به صورت الاستیک باقی می ماند. با ادامه تغییر شکل در مرحله پرهای، تفاوت کرنش طولی در لبه و مرکز ورق در هر یک از استگاه های این مرحله دوباره به شدت افزایش یافته و کرنش طولی لبه ورق از محدوده الاستیک خارج می شود. بیشینه کرنش طولی در استگاه اول پرهای روی می دهد و برابر با ۰/۰۱۹٪ می باشد. بنابراین مرحله شکل دهی لبه و پرهای به عنوان مکان های مستعد برای کمانش لبه ورق معرفی شدند. با استفاده از نتایج شبیه سازی، الگوی گل ورق و همچنین انحنای ورق تغییر شکل یافته در مراحل مختلف شکل دهی پیش بینی شد. فاکتور بی بعدی با عنوان انحنای نسبی

توان شکل دهی. گشتاوری که به غلتک های شکل دهی حول محور آنها وارد می شود در واقع عامل شکل دهی بر روی ورق می باشد. از طرفی طبق رابطه (۱) با تغییر مقدار گشتاورها (T)، توان مصرفی (P) در هر غلتک برای شکل دهی عوض می شود. در این رابطه (۱) سرعت دورانی غلتک می باشد. به همین دلیل توجه به مقدار گشتاورها در غلتک های ایستگاه های مختلف شکل دهی از اهمیت بالایی برخوردار است.

$$(1) \quad P = T \omega$$

برای محاسبه توان شکل دهی در شبیه سازی اجزای محدود، گشتاورهای وارد شده به غلتک بالایی و پایینی در ایستگاه های پرهای از نرم افزار مارک متناسب استخراج شد. متوسط گشتاورهای به دست آمده به عنوان گشتاور وارد شده به غلتک ها در نظر گرفته شد. بدین ترتیب با دانستن سرعت دورانی و گشتاور وارد شده به هر غلتک، توان شکل دهی از رابطه (۱) محاسبه شد.

به منظور به دست آوردن توان شکل دهی در خط تولید، لازم است که شدت جریان مصرفی هر یک از موتورهای غلتک های بالایی و پایینی ایستگاه های پرهای اندازه گیری شود. سیستم کنترلر SIEMENS دستگاه شکل دهی قفسه ای، امکان نمایش و ثبت شدت جریان های مصرفی هر یک از موتورها را به هنگام تولید فراهم می کرد. از این رو با استفاده از این قابلیت سیستم کنترلر، شدت جریان موتورهای غلتک های محرك مرحله پرهای به صورت همزمان و در بازه های زمانی مشخص ثبت گردید.

با توجه به این که موتورهای خط تولید از نوع DC می باشند، برای محاسبه توان شکل دهی از رابطه (۲) استفاده شد که در آن V ولتاژ، I شدت جریان و η بازده موتور می باشد.

$$(2) \quad P = V.I.\eta$$

برای محاسبه توان موتورهای خط شکل دهی قفسه ای با توجه به مقادیر اندازه گیری شده، از شدت جریان متوسط استفاده شد. همچنین با توجه به اندازه گیری های انجام شده و اطلاعات مربوط به

نحوی که میانگین انحنای نسبی به تدریج به یک نزدیک شده و انحراف از معیار آن به سمت صفر می‌کند. میانگین انحنای نسبی در ایستگاه سوم پرهاي برابر با $0^{\circ}/929$ و انحراف از معیار آن $0^{\circ}/004$ به دست آمد. محیط خارجی، فاصله افقی دولبه و توان شکل‌دهی در مراحل مختلف شکل‌دهی از نتایج شبیه‌سازی به دست آمد و با داده‌های تجربی اندازه‌گیری شده در خط تولید مقایسه شد که انطباق بسیار خوب این نتایج، صحت نتایج شبیه‌سازی را تأیید کرد.

تعريف گردید و ناحیه‌هایی از پروفیل ورق که انحنای نسبی کمتر از $0^{\circ}/2$ دارند به عنوان نواحی خمنشده معرفی شدند. نواحی خمنشده در مرحله پیش شکل‌دهی و مراحل اول و دوم شکل‌دهی خطی در گستره فاصله‌ای $43\%-76\%$ ، $60\%-75\%$ و $66\%-75\%$ از مرکز ورق مشاهده شدند. با وجود حذف نواحی خمنشده در مرحله سوم شکل‌دهی خطی، توزیع انحنای در انتهای این مرحله شرایط نامناسب و غیریکنواخت دارد. هم‌چنین مشاهده شد که با ورود ورق به مرحله پرهاي پروفیل ورق تغییرشکل یافته اصلاح می‌شود؛ به

جدول ۴ مقایسه توان شکل‌دهی استخراج شده از شبیه‌سازی اجزای محدود با توان شکل‌دهی اندازه‌گیری شده از خط تولید

| خطا | نتایج تجربی | | شبیه‌سازی اجزای محدود | | | غلق | ایستگاه پرهاي |
|---------|------------------|---------------|-----------------------|---------------------|----------------|--------|---------------|
| | توان شکل‌دهی (W) | شدت جریان (A) | شدت جریان (W) | توان شکل‌دهی (N.mm) | گشتاور (rad/s) | | |
| $8/8/5$ | ۲۸۷۸/۵۸ | ۷/۶۱ | ۳۱۲۲/۹ | ۵۱۲۸/۳ | ۰/۶۰۹ | بالايي | اول |
| $7/7$ | ۲۰۷۱۲/۳۷ | ۵۴/۷۹ | ۱۹۲۴۹/۴۴ | ۳۲۲۵۲/۴ | ۰/۵۹۵ | پايني | اول |
| $3/3/3$ | ۵۷۴۵ | ۱۵/۱۹ | ۵۵۵۵/۲ | ۹۱۶۷ | ۰/۶۰۶ | بالايي | دوم |
| $3/3/5$ | ۱۰۳۸۱/۴۵ | ۲۷/۴۶ | ۱۰۷۵۰/۷ | ۱۷۹۷۶ | ۰/۵۹۸ | پايني | دوم |
| $1/1$ | ۳۹۷۷/۱۸ | ۱۰/۵۲ | ۴۰۱۹/۱ | ۶۶۵۴/۲ | ۰/۶۰۴ | بالايي | سوم |
| $4/4$ | ۳۲۵۷/۲ | ۸/۶۱ | ۳۴۱۶/۹ | ۵۶۷۶ | ۰/۶۰۲ | پايني | سوم |

مراجع

- Yokoyama, E., Toyooka, T., Ejima, A., Yoshimoto, Y., Kawate, T. and Kumata, K., "Steel sheet deformation behavior and forming load determination in the 26-inch cage forming ERW pipe mill", Kawasaki steel technical report, No. 4, Kawasaki, pp. 72–83, (1981).
- Jiang, J., Li, D., Peng, Y. and Li, J., "Research on strip deformation in the cage roll forming process of ERW round pipes", *Journal of Materials Processing Technology*, 209, pp. 4850–4856, (2009).
- Kiuchi, M., "Analytical study on cold roll forming process", the Institute of Industrial Science Report, No. 23, Tokyo, pp. 1–43, (1973).
- Kiuchi, M. and Koudabashi, T., "Automated design system of optimal roll profiles for cold roll forming", *3rd International Conference on Rotary Metalworking Processes*, Kyoto, Japan, pp. 423–436, (1984).
- Kiuchi, M., "Optimum design of fin-rolls and fin pass-schedule of roll forming of pipes", *Tomorrows tube-international conference & exposition*, Birmingham, England, (1986).

6. Walker, T. R. and Pick, R. J., "Approximation of the axial strains developed during the roll forming of ERW pipe", *Journal of Materials Processing Technology*, 22, pp. 29–44, (1990).
7. Walker, T. R. and Pick, R. J., "Developments in the geometric modeling of an ERW pipe skelp", *Journal of Materials Processing Technology*, 25, pp. 35–54, (1991).
- ۸ مسلمی نائینی، حسن، "طراحی غلتک‌های فرآیند شکل دهنی غلتکی سرد لوله به کمک کامپیوتر"، دانشگاه تربیت مدرس، پایان‌نامه کارشناسی ارشد، (۱۳۷۲).
9. Liu, C., Zhou, Y. and P Lu, W., "Numerical simulation of roll-forming by B-spline finite strip method", *Journal of Materials Processing Technology*, 60, pp. 215–21, (1996).
10. Han, Z. W., Liu, C., Lu, W. P., Ren, L.Q. and Jin, T., "Experimental investigation and theoretical analysis of roll forming of electrical resistance welded pipes", *Journal of Materials Processing Technology*, 145, pp. 311–316, (2004).
11. Kiuchi, M. and Wang, F. Z., "FEM simulation of roll-forming of ERW pipes and mill/process design", *6th the International Conference on Technology of Plasticity*, Nuremberg, Germany, pp. 19–24, (1999).
12. Hong, M., Kim, D. S., Yoon, H. J. and Kim, N., "Development of roll forming simulation program", In Transactions of the Korean Society of CAD/CAM Engineers Annual Meeting, Seoul, Korea, pp. 417–423, (2000).
13. Kim, N., Kang, B. and Lee, S., "Prediction and design of edge shape of initial strip for thick tube roll forming using finite element method", *Journal of Materials Processing Technology*, 142, pp. 479–486, (2003).
14. Salmani Tehrani, M., Moslemi Naeini, H., Hartley, P. and Khademizadeh, H., "Localized edge buckling in cold roll-forming of circular tube section", *Journal of Materials Processing Technology*, 177, pp. 617–620, (2006).